

# ศึกษาการเกิดรอยดิ่งของกระบวนการขึ้นรูปลึกด้วยทรงกระบอกเนื่องจากสมบัติแอนไอโซทรอปิกของโลหะแผ่น

## Study of Earing in Deep Drawing processes for Cylinder Cups Depending on Anisotropic Property of Sheet Metal

สุรวุฒิ ยะนิล<sup>1</sup> วิรัช จิรสาวภาคย์<sup>2</sup> และวิเชียร สิงห์ใหม่

ภาควิชาครุศาสตร์เครื่องกล คณะครุศาสตร์อุตสาหกรรม มหาวิทยาลัยเทคโนโลยีพระจอมเกล้าพระนครเหนือ บางซื่อ กรุงเทพฯ 10800  
โทร 0-2913-2500-24 ต่อ 3288 โทรสาร 0-2587-8261 อีเมล [swut2000@hotmail.com](mailto:swut2000@hotmail.com) [wjr@kmitnb.ac.th](mailto:wjr@kmitnb.ac.th)

### บทคัดย่อ

การขึ้นรูปโลหะแผ่นในการผลิตชิ้นส่วนถ้วยทรงกระบอกของกระบวนการขึ้นรูปลึกมักเกิดปัญหาการฉีกขาด และรอยดิ่ง ทั้งนี้กระบวนการขึ้นรูปโลหะแผ่นนั้นมีการกำหนดค่าตัวแปรการผลิตที่สำคัญเช่นแรงกดของแบลงก์โฮลเดอร์ และขนาดรูปร่างของแบลงก์ เป็นต้นในงานวิจัยนี้จะศึกษาสมบัติแอนไอโซทรอปิกของโลหะแผ่นโดยประยุกต์ระเบียบวิธีไฟไนต์เอลิเมนต์แบบไม่เชิงเส้นสำหรับจำลองกระบวนการขึ้นรูปและใช้สมการเกรทการครากของ Hill'R(1948) นำมาศึกษาการเกิดรอยดิ่งของถ้วยทรงกระบอกโดยเปรียบเทียบกับผลการทดลองจริงของ Naval [7] ในผลการทดลองจริงใช้วัสดุชิ้นงานโลหะแผ่นชนิด EDD ขนาดเส้นผ่านศูนย์กลางแผ่นชิ้นงานเท่ากับ 88.82mm ผลลัพธ์ค่าความสูงของรอยดิ่งในแบบจำลองFEM กับการทดลองจริงมีค่าใกล้เคียงกัน และทำการศึกษาถึงอิทธิพลของแรงกดแบลงก์โฮลเดอร์ ที่มีผลต่อความสูงของรอยดิ่ง ในแต่ละชนิดของแผ่นโลหะ วัสดุที่ใช้ในการศึกษาครั้งนี้คือ เหล็กกล้าไร้สนิม AISI 304, เหล็กกล้า SPCC และเหล็กกล้า JIS G 3141 มีความหนาเริ่มต้น 1 mm จากการศึกษาพบว่าความสูงของรอยดิ่งของแต่ละวัสดุเนื่องจากมีการเปลี่ยนแปลงแรงกดแบลงก์โฮลเดอร์มีค่าใกล้เคียงกันและ เหล็กกล้า SPCC มีความสูงของรอยดิ่งมากที่สุด

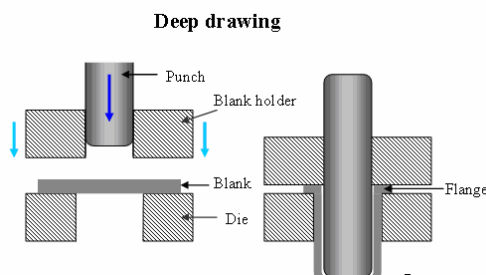
### Abstract

The sheet metal forming for cylinder cups deep drawing parts has often encountered tearing and earing problems. In the sheet metal forming, many important parameters, such as blank holder force and blank configurations need to be defined. This research studied on anisotropic property for sheet metal by applying nonlinear Finite Element Method for modeling deep drawing process and using Hill'R (1948) Yield Criterion. This work was compared the experiment result of Naval [7]. This experiment used material EDD sheet steel diameter of blank sheet is 88.52 mm. Result from finite element modeling and

experiment were closely related. Furthermore, this experiment studied the affecting to height of earing. The metal sheet used in this study is AISI 304 stainless steel, SPCC steel and JIS G 3141 steel with the initial thickness of 1 mm. From the study, heights of earing from each sheet metal depended were closely related and SPCC steel had the most height earing.

คำสำคัญ : Planar Anisotropy, Earing, Deep Drawing

### 1. การขึ้นรูปลึก (Deep Drawing)



รูปที่ 1 แสดงลักษณะของกระบวนการขึ้นรูปลึก

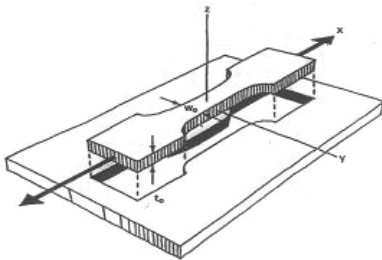
ชาญ [1] การดึงขึ้นรูปลึก (Deep drawing) เป็นกรรมวิธีการขึ้นรูปโลหะแผ่นที่สำคัญมากอย่างหนึ่งการดึงขึ้นรูปลึกเป็นการขึ้นรูปด้วยการดึงและการกดแผ่นโลหะขึ้นรูปด้วยความเค้นกดในแนวเส้นรอบวง และความเค้นดึงในแนวรัศมีแม่พิมพ์ประกอบด้วยพื้นซ์ตาย และแบลงก์โฮลเดอร์เมื่อพื้นซ์เคลื่อนที่จะ ดึงแผ่นแบลงก์ให้ผ่านเข้าไปในช่องตายการขึ้นรูปเริ่มต้นด้วยการยึดก่อน เมื่อเริ่มเกิดกันขึ้นงานขึ้นแล้วจึงมีการดึงขึ้นรูปลึกต่อไปจนสำเร็จแรงดึงขึ้นรูปส่งผ่านจากกันขึ้นงานไปยังผนังชิ้นงานในบริเวณที่มีการขึ้นรูป ความเค้นดึงในแนวแกน  $\sigma_z$  กระทำที่ผนังชิ้นงานซึ่งอยู่ระหว่างรัศมีขอบตายกับกันขึ้นงาน

## 2. พลาสติกแอนไอโซทรอปิก

ชาญ [1] กรรมวิธีการขึ้นรูปส่วนมากใช้สมมติฐานว่าโลหะมีพฤติกรรมไอโซทรอปิก (Isotropy) และมีสมบัติเท่ากันในทุกๆ ทิศทางซึ่งเป็นสมมติฐานที่ไม่ถูกต้องสมบัติของวัสดุมัก ขึ้นอยู่กับทิศทางนั้นคือวัสดุมีพฤติกรรมแอนไอโซทรอปิก (Anisotropy) ลักษณะเฉพาะของวัสดุเชิงเทคโนโลยีเช่นสมบัติด้านความยืดหยุ่นและพลาสติกสมบัติเชิงกลความต้านแรงดึง และสมบัติทางต้านฟิสิกส์เช่นการนำไฟฟ้า และความร้อนความเป็นแม่เหล็ก และการขยายตัวเนื่องจากความร้อนของโลหะต่างก็ขึ้นกับทิศทางทั้งสิ้น

Hosford [4] พารามิเตอร์ที่มีประโยชน์คืออัตราส่วน  $R$  ของความเครียดพลาสติกเมื่อ  $w$  และ  $t$  คือทิศทางความกว้างและความหนาของชิ้นทดสอบการดึงตามลำดับตั้งนั้น  $\epsilon_w = \ln(w/w_0)$ ,  $\epsilon_t = \ln(t/t_0)$  สำหรับวัสดุไอโซทรอปิก  $R = 1$

$$R = \frac{\epsilon_w}{\epsilon_t} = \frac{\epsilon_y}{\epsilon_z} \quad (1)$$



รูปที่ 2 ชิ้นทดสอบการดึงที่เป็นแผ่นแถบตัดมาจากแผ่น ค่า  $R$

สำหรับเหล็กกล้าค่า  $R$  และโมดูลัสยืดหยุ่น  $R$  มักแปรผันคล้ายกันตามเนื้อรูปผลึกแม้ว่าสหสัมพันธ์พื้นฐานไม่แน่นอนแต่ก็มีพื้นฐานสำหรับใช้กับเครื่องมือวัดเชิงอุตสาหกรรมขนาดเล็กซึ่งวัดค่า  $E$  ของแผ่นแถบบางด้วย Sonic Velocity และปรับให้อ่านค่า  $R$  ได้โดยปกติค่า  $R$  มักแปรผันตามทิศทางทดสอบ  $\theta$  และมักใช้แสดงคุณลักษณะของวัสดุโดยค่า  $R$  เฉลี่ยคือ  $R$  ซึ่ง

$$\bar{R} = \frac{R_0 + 2R_{45} + R_{90}}{4} \quad (2)$$

### 2.1 ทฤษฎีสภาพแอนไอโซทรอปิกของHill1948

[3] ทฤษฎีของ Hill จะพิจารณาสมการของ Orthotropic Anisotropy อย่างง่ายคือจะพิจารณาค่าทุกๆ จุดในเนื้อวัสดุจะมีระนาบที่ตั้งฉากซึ่งกันและกัน 3 ระนาบซึ่งมีความสมมาตรแนวเส้นที่เกิดจากการตัดของPlane ทั้งสามจะเป็แกนหลัก(Principle axes)ของแอนไอโซทรอปิกHillได้เสนอสมการของเกณฑ์การคราก(Yield Criterion) ดังนี้

$$2f(\sigma_{ij}) = F(\sigma_y - \sigma_z)^2 + G(\sigma_z - \sigma_x)^2 + H(\sigma_x - \sigma_y)^2 + 2L\tau_{yz}^2 + 2M\tau_{zx}^2 + 2N\tau_{xy}^2 = 1 \quad (3)$$

เมื่อ  $F, G, H, L, M$  และ  $N$  คือค่าคงตัวซึ่งแสดงคุณลักษณะแอนไอโซทรอปิกสังเกตว่าถ้า  $F = G = H$  และ  $L = M = N = 3F$  สมการนี้ลดรูปลงเป็นเกณฑ์ของฟอนมิเซสทฤษฎีจะสมมติว่าไม่มี Bauschinger

effect และ Hydrostatic stress จะไม่มีอิทธิพลต่อการครากค่าคงตัว  $F, G$  และ  $H$  สามารถประเมินได้จากการทดสอบการดึงเราจะตั้งสมมติฐานเช่นเดียวกับ Isotropic Material คือให้  $f(\sigma_{ij})$  เป็น Plastic potential ซึ่งทำให้เราสามารถหาการเพิ่มขึ้นของ Strain ได้จาก Partial Differential ของ  $f(\sigma_{ij})$  ด้วย  $\sigma_{ij}$  ดังนี้

$$d\epsilon_{ij} = d\lambda \frac{\partial f(\sigma_{ij})}{\partial \sigma_{ij}} \quad (4)$$

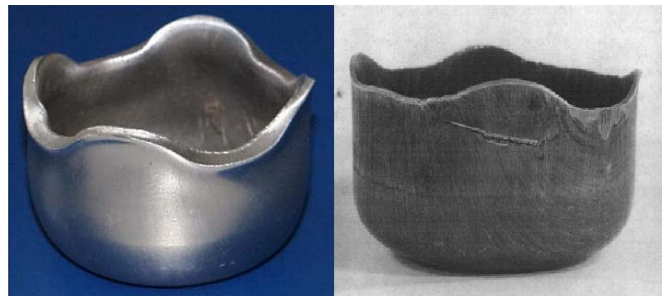
อัตราส่วนระหว่างค่าความเครียดของความกว้างต่อความหนา เรียกว่า "R-value"หาได้จาก  $R_x = \frac{d\epsilon_y^p}{d\epsilon_z^p}$  ถ้าพิจารณา ค่าความเครียดน้อยๆ ค่าความเครียดเพิ่มขึ้นในด้านกว้างของแท่งวัสดุหาได้จากสมการ ดังนั้นค่า R-value จะได้

$$R_\alpha = \frac{H + (2N - F - G - 4H) \sin^2 \alpha \cos^2 \alpha}{F \sin^2 \alpha + G \cos^2 \alpha} \quad (5)$$

สมการที่ใช้แสดงความสัมพันธ์ระหว่างความเค้นและความเครียดประสิทธิภาพที่เรียกว่ากฎยกกำลัง (Power Law)  $\bar{\sigma} = K\bar{\epsilon}^n$  เมื่อ  $K$  คือสัมประสิทธิ์ความต้านแรง และ  $n$  คือ เลขชี้กำลังการทำให้แข็งด้วยความเครียด

## 3. รอยดิ่ง

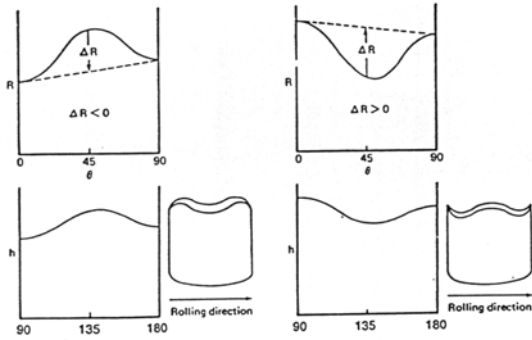
รอยดิ่ง (Earing) จะเกิดจากการขึ้นรูปลึกของโลหะแผ่นซึ่งจะมีลักษณะเป็นรอยยักโค้งเว้าบริเวณขอบของชิ้นงาน แต่การใช้งานจริงแล้วเราไม่ต้องการส่วนที่เป็นรอยดิ่งนี้จึงต้องมีการตัดออกซึ่งจะทำให้เสียเนื้อวัสดุซึ่งเมื่อทำในปริมาณมากจะมีผลต่อต้นทุนจึงมีการวิจัยและหา ทางแก้ไขเพื่อหาวิธีที่จะลดขนาดของรอยดิ่งให้มันน้อยที่สุด



รูปที่ 3 แสดงลักษณะรอยดิ่งของถ้วยทรงกระบอก

ชาญ[1] ตัวอย่างที่เห็นได้ชัดของพฤติกรรมแอนไอโซทรอปิกก็คือการเกิดรอยดิ่งที่ขึ้นงานดึงขึ้นรูปลึกรวมทั้งชิ้นงาน ที่มีความหนาที่ขอบไม่สม่ำเสมอเมื่อขึ้นรูปมากขึ้นผลของแอนไอโซทรอปิกทำให้รอยดิ่งสูงขึ้นความสามารถ ในการขึ้นรูปของวัสดุแตกต่างกันบริเวณที่ขึ้นรูปมากจะ เกิดรอยดิ่งการเกิดรอยดิ่งแสดงให้เห็นถึงความแตกต่างของสมบัติเชิงกลในทิศทางต่างๆที่ทำมุมกับทิศทางการรีดโลหะแผ่น นั่นคือทิศทางของเกรนที่ได้จากการรีดโลหะแผ่นมีแอนไอโซทรอปิก 2 ทิศทางคือแอนไอโซทรอปิกในแนวตั้งฉาก (แนวความหนา) และในแนวระนาบ

Hosford [4] ขอบด้านบนของถ้วยที่ได้จากการดรอว์ไม่เรียบอย่างสมบูรณ์แต่ก่อนข้างมีตำแหน่งที่สูงหรือเรียกว่ารอยดิ่ง พร้อมทั้งมีแอ่ง (Valleys) อยู่ระหว่างรอยดิ่งลักษณะทั่วไปคือมีรอยดิ่ง 4 รอยแต่บางครั้ง



รูปที่ 4 แสดงลักษณะของรอยดิ่งที่ทิศทางต่างๆ

ก็อาจพบว่ามี 2, 6 หรือ 8 รอย รอยดิ่งเกิดจากผลของแอนไอโซทรอปิกในระนาบและมีความสัมพันธ์กับการแปรผันเชิงมุมของค่า Planar Anisotropy คือ การวัดผลต่างของค่า R - value ในแต่ละทิศทางในการรีดโลหะแผ่น และสามารถบอกการเกิดรอยดิ่งที่ขึ้นงานได้ โดยหาได้จากสมการ

$$\Delta R = \frac{R_{0} - 2R_{45} + R_{90}}{2} \quad (6)$$

เมื่อ  $\Delta R = 0$  จะไม่เกิดรอยดิ่ง

$\Delta R > 0$  เกิดรอยดิ่งที่  $0^{\circ}$  และ  $90^{\circ}$

$\Delta R < 0$  เกิดรอยดิ่งที่ประมาณ  $\pm 45^{\circ}$

#### 4. วิธีการ

การดำเนินการวิจัยการวิเคราะห์ศึกษาสมบัติ Anisotropy ของโลหะแผ่นในกระบวนการขึ้นรูปลึก (Deep Drawing) โดยวิธีไฟไนต์เอลิเมนต์ ในการสร้างแบบจำลองและนำผลลัพธ์ไปเปรียบเทียบกับผลการทดลองจริงของ Nava [5] ซึ่งได้ทำการศึกษารายละเอียดของแผ่นขึ้นงานเพื่อให้เกิดรอยดิ่งน้อยที่สุดในการทดลองได้ใช้วัสดุขึ้นงานคือ EDD steel sheet ค่าสมบัติของวัสดุตั้งในตารางที่ 1 และตารางที่ 2

ตารางที่ 1 แสดงค่าสมบัติของวัสดุ EDD Steel Sheet [7]

Material	n	K	$R_0$	$R_{45}$	$R_{90}$	$\Delta R$	$\bar{R}$
EDD	0.237	431	1.67	1.16	1.76	0.55	1.43

ตารางที่ 2 แสดงค่าสมบัติการต้านแรงดึงของ EDD Steel Sheet

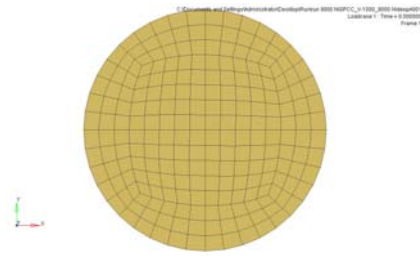
Material	Yield stress (N/mm <sup>2</sup> )	Ultimate tensile stress (N/mm <sup>2</sup> )	Percentage elongation (using 50 mm gauge length)
EDD	155	250	45

ในการสร้างแบบจำลองไฟไนต์เอลิเมนต์ต้องนำผลลัพธ์ของแบบ

จำลองไปเปรียบเทียบกับผลลัพธ์ของการทดลองจริงเมื่อค่าที่ได้ใกล้เคียงกันจึงนำแบบจำลองนี้ ไปวิเคราะห์การเกิดรอยดิ่งของวัสดุชนิดอื่นๆในงานวิจัยนี้ใช้วัสดุ 3 ชนิด คือ เหล็กกล้าไร้สนิม AISI 304, เหล็กกล้า JIS G3141 และเหล็กกล้า SPCC ซึ่งมีความหนา 1 mm และวัดความสูงเปรียบเทียบกันของรอยดิ่งที่เกิดขึ้นของถ้วย ทรงกระบอกของแต่ละวัสดุ

#### 4.1 แบบจำลองไฟไนต์เอลิเมนต์ของการขึ้นรูปลึก

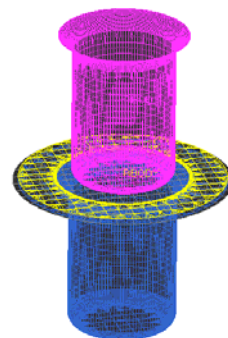
ในแบบจำลองการขึ้นรูปกำหนดให้พันธ์และตายเป็นวัสดุแข็งเกร็ง แผ่นขึ้นงานมีสมบัติแบบ Elastic-Plastic และมีขนาดเส้นผ่านศูนย์กลางเท่ากับ 88.52 mm ขั้นตอนต่อมาแบ่งเอลิเมนต์บนแผ่นขึ้นงานโดยเลือกใช้รูปทรงเอลิเมนต์โครงสร้างแบบเปลือก (Shell Element) แบบสี่เหลี่ยมถูกสร้างในโปรแกรมไฟไนต์เอลิเมนต์การกำหนดขนาดของเอลิเมนต์เล็กมีผลทำให้จำนวนเอลิเมนต์ที่แบบจำลองขึ้นงานมีจำนวนมาก จะใช้เวลาในการคำนวณช้ามากดังนั้นการกำหนดให้จำนวนเอลิเมนต์ที่มีความเหมาะสมในงานวิจัยนี้กำหนดให้ใช้เอลิเมนต์ขนาด 10mm และใช้คำสั่งกำหนดเอลิเมนต์แบบอัตโนมัติ (Auto Mesh) นำผลลัพธ์ที่ได้ไปเปรียบเทียบกับผลการทดลองจริงให้ผลลัพธ์ที่มีความใกล้เคียงและเลือกจำนวนของเอลิเมนต์ที่เหมาะสมที่สุด



รูปที่ 5 แสดงการกำหนดเอลิเมนต์ที่แบบจำลองแผ่นขึ้นงาน

#### 4.2 ขั้นตอนการสร้าง สร้างเครื่องมือ และกำหนดให้วัสดุ

การสร้างพันธ์ ตาย และ แบลงก์โฮลเดอร์ สร้างจากโปรแกรม ออกแบบ โดย Import เข้ามาในโปรแกรม ไฟไนต์เอลิเมนต์ และกำหนดเอลิเมนต์ให้กับ พันธุ์ และตาย และกำหนดให้วัสดุ พันธุ์ และตายเป็นวัสดุแข็งเกร็ง (Rigid) และแบลงก์โฮลเดอร์ ซึ่งสร้างมาจากผิวของตาย ในโปรแกรมไฟไนต์เอลิเมนต์กำหนดให้เป็นวัสดุแข็งเกร็งเช่นเดียวกัน โดยให้พันธ์อยู่บนสุดเคลื่อนที่ตามแนวแกน Z กดแผ่นขึ้นงานเข้าสู่ตายแบลงก์โฮลเดอร์อยู่ตำแหน่งเหนือผิวตายเพื่อกดแผ่นขึ้นงานเพื่อควบคุมการไหลของเนื้อโลหะไหลเข้าไปในตายมากเกินไป



รูปที่ 6 แสดงลักษณะแบบจำลองพันธ์ ตาย และ แบลงก์โฮลเดอร์

การกำหนดสมบัติของวัสดุ เป็นแบบสมบัติแอนไอโซโทรปิก ซึ่งโดยทั่วไปโลหะจะผ่านกระบวนการรีด (Rolling) โดยใช้ทฤษฎีพลาสติกชนิด Hill [5] ในการวิเคราะห์ปัญหา โดยกำหนดอัตราส่วนค่าความเครียดความกว้าง ต่อความหนา ในทิศทางตามแนวรีด ทำมุมกับแนวรีด 45° และ 90° ของวัสดุแต่ละชนิด ดังในตารางที่ 3 และได้แสดงขั้นตอนการกำหนดสมบัติของวัสดุ

ตารางที่ 3 แสดงค่าสมบัติของวัสดุ

Material	n	K	$R_0$	$R_{45}$	$R_{90}$	$\Delta R$	$\bar{R}$
JISG3141	0.221	426.01	1.513	1.398	1.709	0.215	1.497
AISI304	0.47	1527	0.92	1.30	0.78	-0.45	1.075
SPCC	0.180	607	1.232	0.878	1.302	0.389	1.072

### 4.3 การกำหนดเงื่อนไขขอบเขต

การกำหนดเงื่อนไขขอบ แบ่งการกำหนดเงื่อนไขขอบให้กับแบบจำลอง โดยสามารถแบ่งออกเป็นเงื่อนไขต่างๆ ดังนี้

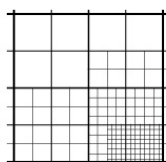
1. การกำหนดการเคลื่อนที่ของพันธ์ ซึ่งเป็นวัตถุแข็งเกร็งเป็น 200 mm/s โดยกำหนดทิศทางเคลื่อนที่ให้อยู่ในแนวตั้ง
2. กำหนดเงื่อนไขขอบให้ตายอยู่หนึ่งไม่มีการเคลื่อนที่
3. กำหนดทิศทาง และแรงกดแบบลงกิโลเดออร์เป็น 20 kN ให้เคลื่อนที่อยู่ในแนวตั้งตามแนวแกน z

### 5.4 การกำหนดค่าสัมประสิทธิ์ความเสียหายของคู่สัมผัส

ตารางที่ 4 แสดงค่าสัมประสิทธิ์ความเสียหายของคู่สัมผัสระหว่างแผ่นชิ้นงาน กับ Tooling

Tooling	แผ่นชิ้นงาน	สัมประสิทธิ์ความเสียหาย ( $\mu$ )
Steel	JIS G3141	0.15
Steel	AISI304	0.2
Steel	SPCC	0.11

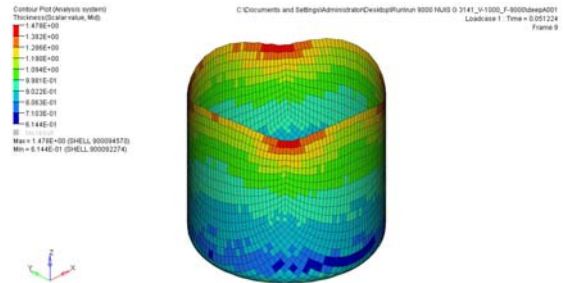
ก่อนการประมวลผลต้องกำหนดค่าแรงกดของแบบลงกิโลเดออร์ ความเร็วของพันธ์ และขั้นตอนต่อมาที่กำหนด Number of states ในงานวิจัยนี้กำหนด 10 States ขั้นตอนต่อมา RUN โปรแกรม และเมื่อแบบจำลองชิ้นงานมีการเสียรูปมากๆ เอลิเมนต์บนแผ่นชิ้นงาน จะทำการ Adaptive Meshing ให้เอลิเมนต์มีขนาดเล็กลง เนื่องจากบริเวณที่เกิดแรงกดมาก ในโปรแกรมนี้จะแบ่งให้เอลิเมนต์เล็กลง



รูปที่ 7 แสดงลักษณะการ Adaptive Meshing ของเอลิเมนต์

ในขั้นตอนการแสดงผลของวิเคราะห์โดยระเบียบวิธีไฟไนต์เอลิเมนต์ พิจารณาความสูงของรอยดิ่ง ของการขึ้นรูปด้วย

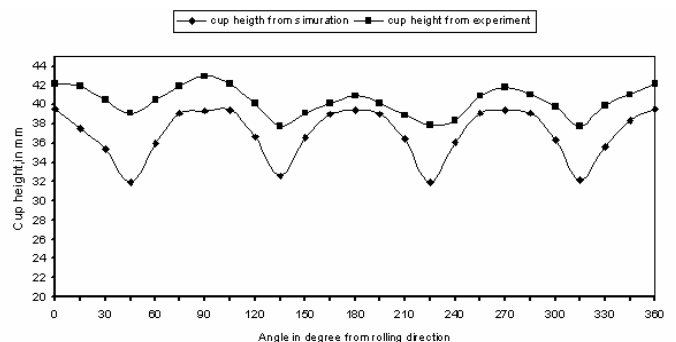
ทรงกระบอก โดยนำผลลัพธ์ที่ได้เปรียบเทียบกับทดลองจริง และนำแบบจำลองที่นำเชื่อถือได้ไปวิเคราะห์การเกิดรอยดิ่ง ของวัสดุ 3 ชนิด แบบจำลองไฟไนต์เอลิเมนต์ ของกระบวนการขึ้นรูปลึก แสดงในรูปที่ 8 จะเห็นว่าผลลัพธ์ที่ได้เกิดรอยดิ่ง 4 รอย เนื่องจากสมบัติของวัสดุแบบแอนไอโซโทรปิก



รูปที่ 8 แสดงลักษณะการเกิดรอยดิ่ง ในการจำลองการขึ้นรูปลึก

### 5. ผลการวิจัย

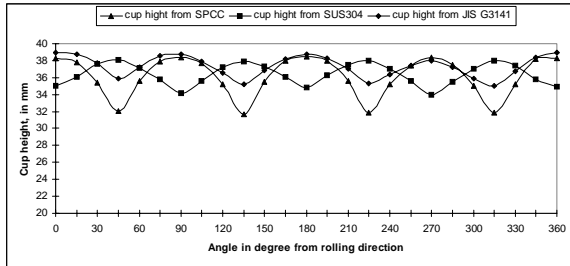
จากการเปรียบเทียบผลลัพธ์ค่า ความสูงรอยดิ่งของถ้วยทรงกระบอกในแบบจำลองไฟไนต์เอลิเมนต์กับการทดลองจริงของวัสดุเป็นเหล็กกล้าชนิด EDD Sheet Steel โดยใช้แรงกดแบบลงกิโลเดออร์เท่ากับ 20 kN พบว่าค่าความสูงของถ้วยทรงกระบอกของแบบจำลองไฟไนต์เอลิเมนต์กับการทดลองจริงมีค่าใกล้เคียงกันที่ความสูงของถ้วยทรงกระบอกที่มีมุม 0, 90, 180, 270 และ 360 องศา คิดเป็นเปอร์เซ็นต์เฉลี่ยเท่ากับ 6.05% และพบว่าที่มุม 45, 135, 225 และ 315 องศา ค่าความสูงของถ้วยทรงกระบอกมีแตกต่างกันเฉลี่ยเท่ากับ 14.96% จะเห็นได้ว่าในแบบจำลองไฟไนต์เอลิเมนต์ที่มีมุม 45, 135, 225 และ 315 องศา ค่าความสูงของถ้วยทรงกระบอก เมื่อเปรียบเทียบกับทดลองจริงมีค่าแตกต่างกันมากกว่าที่มุม 0, 90, 180, 270 และ 360 องศา และวัดค่าความสูงของรอยดิ่งของแบบจำลอง FEM เฉลี่ยเท่ากับ 4.97 mm และค่าความสูงเฉลี่ยของการทดลองจริงเท่ากับ 3.85 mm พบว่าความสูงของรอยดิ่งมีค่าเฉลี่ยใกล้เคียงกันดังแสดงในรูปที่ 9



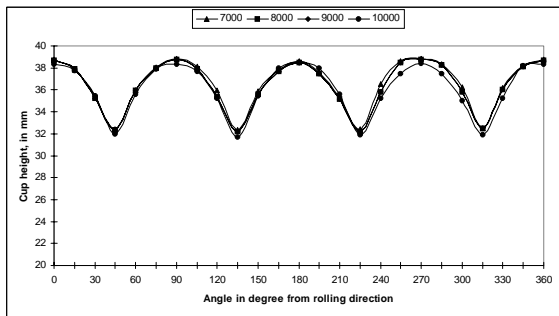
รูปที่ 9 แสดงการเปรียบเทียบผลลัพธ์ค่าความสูงของถ้วยทรงกระบอกของ FEM กับการทดลองจริง

เนื่องจากที่ความสูงของรอยดิ่งที่มีมุมถ้วยทรงกระบอกซึ่งมีค่าความสูงใกล้เคียงกับการทดลองจริงจึงสามารถนำแบบจำลองไปวิเคราะห์การเกิดรอยดิ่งของวัสดุชนิดอื่นต่อไป

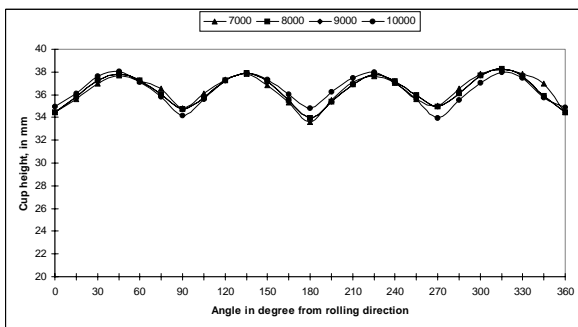
ในการศึกษาสมบัติเนื้อไอโซโทรปิกของวัสดุ ทั้ง 3 ชนิดโดยการหา ค่าความสูงของรอยดิ่งของถ้วยทรงกระบอก ในการวิจัยนี้ได้ปรับค่าแรง กดของแบลงก์ไฮลเดอร์ เท่ากับ 7 kN, 8 kN, 9 kN และ 10 kN เพื่อหา ความสูงของรอยดิ่งที่เปลี่ยนแปลงในแต่ละวัสดุ การปรับค่าแรงกดของ แบลงก์ไฮลเดอร์ค่าต่างๆ ในแต่ละวัสดุค่าความสูงของรอยดิ่งในแต่ละ วัสดุแสดงในรูปที่ 9 ถึง รูปที่ 12



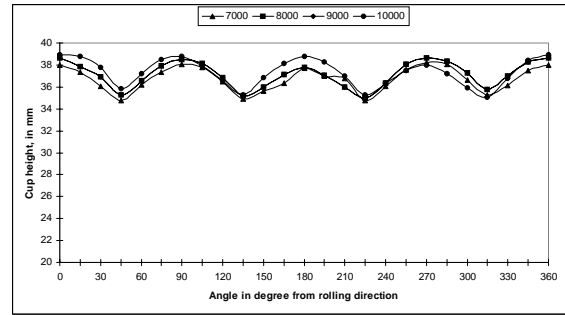
รูปที่ 10 แสดงการเปรียบเทียบความสูงของรอยดิ่งของวัสดุ 3 ชนิด ที่แรงกดแบลงก์ไฮลเดอร์เท่ากับ 10 kN



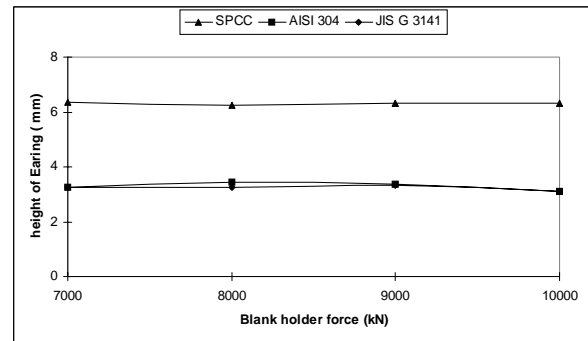
รูปที่ 11 แสดงการเปรียบเทียบความสูงของรอยดิ่งของวัสดุเหล็ก กล้า SPCC เมื่อมีการปรับเปลี่ยนค่าแรงกดของแบลงก์ ไฮลเดอร์



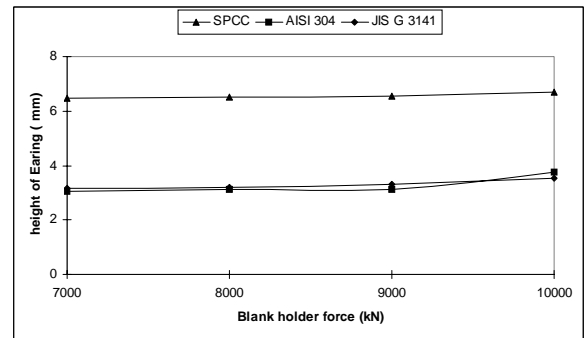
รูปที่ 12 แสดงการเปรียบเทียบความสูงของรอยดิ่งของวัสดุเหล็ก กล้าไร้สนิม AISI304 เมื่อมีการปรับเปลี่ยนค่าแรงกดของ แบลงก์ไฮลเดอร์



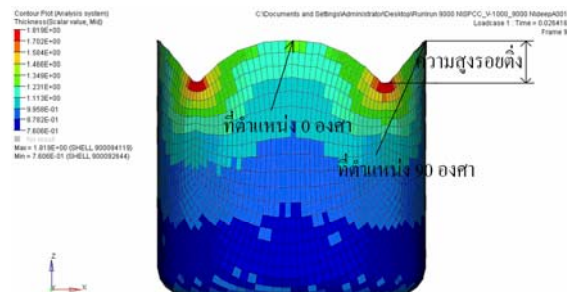
รูปที่ 13 แสดงการเปรียบเทียบความสูงของรอยดิ่งของวัสดุเหล็ก กล้า JIS G 3141 เมื่อปรับเปลี่ยนค่าแรงกดของแบลงก์ ไฮลเดอร์



รูปที่ 14 แสดงการเพิ่มขึ้นของความสูงรอยดิ่งในแต่ละวัสดุ เมื่อ ปรับค่าแรงกดแบลงก์ไฮลเดอร์ที่ตำแหน่ง 0-90 องศา

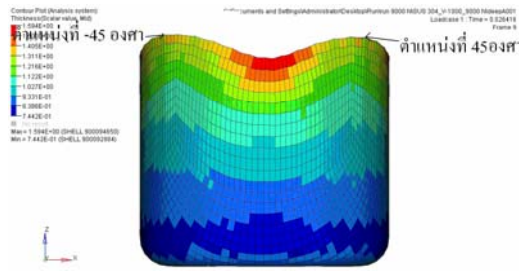


รูปที่ 15 แสดงการเพิ่มขึ้นของความสูงรอยดิ่งในแต่ละวัสดุ เมื่อ ปรับค่าแรงกดแบลงก์ไฮลเดอร์ที่ตำแหน่ง 90-180 องศา

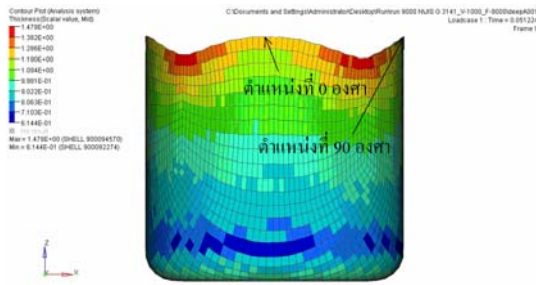


รูปที่ 16 แสดงรอยดิ่งเกิดขึ้นที่มุม 0° และ 90° ของถ้วย ทรงกระบอก วัสดุเหล็กกล้า SPCC





รูปที่ 17 แสดงรอยดิ่งเกิดขึ้นที่มุม  $\pm 45^\circ$  ของถ้วยทรงกระบอก วัสดุเหล็กกล้าไร้สนิม AISI304



รูปที่ 18 แสดงรอยดิ่งเกิดขึ้นที่มุม  $0^\circ$  และ  $90^\circ$  ของถ้วย ทรงกระบอก วัสดุเหล็กกล้า JIS G 3141

## 6. การวิจารณ์ผล และสรุปผล

### 6.1 การวิจารณ์ผล

งานวิจัยนี้สร้างแบบจำลองไฟไนต์เอลิเมนต์ ของกระบวนการขึ้นรูปลึกถ้วยทรงกระบอกโดยสร้างแบบจำลอง ไฟไนต์เอลิเมนต์ เปรียบเทียบกับผลการทดลองจริงของ [7] ของวัสดุเป็นเหล็กกล้าชนิด EDD Sheet Steel ขนาดของแผ่นชิ้นงานที่ใช้เปรียบเทียบกับเส้นผ่านศูนย์กลางเท่ากับ 88.52 mm มีความหนาเท่ากับ 1 mm โดยใช้แรงกดแบบลงกิโลเดอ์เท่ากับ 20 kN พบว่าค่าความสูงของถ้วยทรงกระบอกของแบบจำลองไฟไนต์เอลิเมนต์กับการทดลองจริงมีค่าใกล้เคียงกันที่ความสูงของถ้วยทรงกระบอกที่มุม 0, 90, 180, 270 และ 360 องศาคิดเป็นเปอร์เซ็นต์เฉลี่ยเท่ากับ 6.05% และพบว่าที่มุม 45, 135, 225 และ 315 องศาค่าความสูงของถ้วยทรงกระบอกมีแตกต่างกันเฉลี่ยเท่ากับ 14.9% และวัดค่าความสูงของรอยดิ่งของแบบจำลอง FEM เฉลี่ยเท่ากับ 4.97 mm เปรียบเทียบกับการทดลองจริงเฉลี่ยเท่ากับ 3.85 mm พบว่าความสูงของรอยดิ่งมีค่าเฉลี่ยใกล้เคียงกัน จากการศึกษารอยดิ่งของวัสดุ 3 ชนิดคือเหล็กกล้าไร้สนิม AISI 304, เหล็กกล้า JIS G3141 และเหล็กกล้า SPCC พบว่ารอยดิ่งมีค่าความสูงแตกต่างกัน ตำแหน่งการเกิดรอยดิ่งของวัสดุเหล็กกล้าไร้สนิม AISI304 แตกต่างกับเหล็กกล้า JIS G3141 และเหล็กกล้า SPCC เพราะว่า เหล็กกล้าไร้สนิม AISI304 มีค่า Planar Anisotropy เท่ากับ -0.261 ซึ่งมีค่าน้อยกว่าศูนย์ เกิดรอยดิ่งที่ประมาณ  $\pm 45^\circ$  แต่เหล็กกล้าไร้สนิม AISI304 และเหล็กกล้า JIS G3141 มีค่า Planar Anisotropy เท่ากับ 0.389 และ 0.215 มีค่ามากกว่าศูนย์ รอยดิ่งจะเกิดที่ เกิดรอยดิ่งที่  $0^\circ$  เมื่อศึกษาการความสูง

ของรอยดิ่งที่มีการเปลี่ยนแปลงเมื่อปรับแรงกดแบบลงกิโลเดอ์ พบว่าค่าความสูงของรอยดิ่งต่างกันเล็กน้อย

### 6.2 สรุป

เมื่อนำแบบจำลองไฟไนต์เอลิเมนต์ไปศึกษาสมบัติแอนไอโซโทรปิกของวัสดุ 3 ชนิด คือ เหล็กกล้าไร้สนิม AISI 304, เหล็กกล้า JIS G3141 และเหล็กกล้า SPCC และโดยปรับค่า แรงกดของแบบลงกิโลเดอ์ เท่ากับ 7 kN, 8 kN, 9 kN และ 10 kN เพื่อศึกษาความสูงของรอยดิ่งที่มีการเปลี่ยนแปลง จากการศึกษารูปได้ว่า

- 1 วัสดุเหล็กกล้า SPCC มีค่า Planar Anisotropy เท่ากับ 0.389 ซึ่งมีค่ามากกว่าศูนย์ รอยดิ่งจะเกิดที่เกิดรอยดิ่งที่  $0^\circ$  และ  $90^\circ$  ตรงตามเงื่อนไข
- 2 เหล็กกล้า JIS G3141 มีค่า Planar Anisotropy เท่ากับ 0.215 ซึ่งมีค่ามากกว่าศูนย์ รอยดิ่ง จะเกิดที่เกิดรอยดิ่งที่  $0^\circ$  และ  $90^\circ$  ตรงตามเงื่อนไข
- 3 วัสดุเหล็กกล้าไร้สนิม AISI304 มีค่า Planar Anisotropy เท่ากับ -0.261 ซึ่งมีค่าน้อยกว่าศูนย์ เกิดรอยดิ่งที่ประมาณ  $\pm 45^\circ$  ตรงตามเงื่อนไข

4 เมื่อปรับแรงกดแบบลงกิโลเดอ์เพิ่มมากขึ้นพบว่า ค่าความสูงของรอยดิ่งของถ้วยทรงกระบอก มีค่าเปลี่ยนแปลงเล็กน้อย

5 จากผลลัพธ์ค่าความสูงของรอยดิ่งพบว่าเหล็กกล้า SPCC มีค่ารอยดิ่งมากที่สุดเท่ากับ และเมื่อปรับไฮดรอลิกเพิ่มมากขึ้นพบว่า ค่าความสูงของรอยดิ่ง ของวัสดุทั้ง 3 ชนิดเปลี่ยนแปลงเล็กน้อย และเหล็กกล้าไร้สนิม AISI 304 เหล็กกล้า JIS G3141 มีค่าความสูงของรอยดิ่งใกล้เคียงกัน แต่มีตำแหน่งการเกิดต่างกัน

### เอกสารอ้างอิง

1. ชานู ถนัดงาน, เอกสารประกอบการสอนวิชา Metal Forming Analysis ภาควิชาวิศวกรรมการผลิต คณะวิศวกรรมศาสตร์ มจพ.
2. ชานู ถนัดงาน, เทคโนโลยีการขึ้นรูปโลหะพื้นฐานและการขึ้นรูปโลหะแผ่น, กรุงเทพฯ ศูนย์ผลิตตำราเรียน สจพ. 2547.
3. R. Hill, Mathematical theory of plasticity, Cambridge University Press, Cambridge (1948).
4. William F. Hosford and R.M. Cadell., Metal Forming Mechanics and Metallurgy, 2d. ed., New Jersey: Prentice-Hall, Inc., Englewood Cliffs. 1993.
5. Naval Kishor, "Optimization of initial blank shape to minimize earing in deep drawing using finite element method" Journal of Materials Processing Technology Volumes 130-131 20 December 2002, Pages 20-30.